

С 341.18

Г-834

31/всі - 5

ОБЪЕДИНЕННЫЙ
ИНСТИТУТ
ЯДЕРНЫХ
ИССЛЕДОВАНИЙ

Дубна

P - 2270



Е.П. Григорьев, Кун Сян-цзин,
Г. Музиоль, Е. Херрманн

Изотопы ионных промежуточных состояний

ГАММА-СПЕКТР ИЗОМЕРА H_0^{160m}

Изотопы ионных промежуточных состояний

1965

P - 2270

Е.П. Григорьев^{x/}, Кун Сян-цзин,
Г. Музиоль, Е. Херманн

3499/1 np.

ГАММА-СПЕКТР ИЗОМЕРА No^{160m}



^{x/} Ленинградский университет.

При распаде Er^{160} ($T_{1/2} = 28,7$ час) возбуждается изомерное состояние Ho^{160m} ($T_{1/2} = 5,1$ час) с энергией 80 кэв. Распад этого уровня происходит как путем электронного захвата, так и путем изомерного E3 γ -перехода в основное состояние^{/1/}. Бета-распад Ho^{160} происходит с периодом полураспада 25,6 мин^{/2/}. Генетическая связь между уровнями Ho^{160} была установлена в работе^{/3/}. Гамма-излучение возникает после β -распада обоих состояний Ho^{160} и вызывается переходами между уровнями четно-четного деформированного ядра Dy^{160} . Наиболее полная схема распада построена в работе^{/1/} на основании изучения спектра электронов внутренней конверсии равновесной смеси $\text{Er}^{160} + \text{Ho}^{160m} + \text{Ho}^{160}$. Гамма-спектр, возникающий при распаде основного состояния Ho^{160} , приведен в работе^{/4/}, а γ -спектр $\text{Ho}^{160m} + \text{Ho}^{160}$ изменился лишь очень грубо^{/5-7/}, причем относительные интенсивности γ -лучей были определены только для самых сильных линий по фотозелектронам^{/8/}. Имеется одна работа, в которой измерялся γ -спектр $\text{Ho}^{160m} + \text{Ho}^{160}$ в 4π -геометрии^{/9/}.

Целью настоящей работы было установить, какие γ -лучи возникают непосредственно при β -распаде изомерного уровня Ho^{160m} . Для этого использовался метод, примененный в работе^{/3/}. При изучении γ -спектра Er^{160} , очищенного от дочернего гольмия, можно наблюдать нарастание интенсивности γ -линий, следующих за β -распадом как Ho^{160m} , так и Ho^{160} , причем характер их нарастания различен. Эта разница в скорости нарастания использована в нашей работе. Хроматографический метод очистки эрбия позволил нам начать измерения γ -спектра через 2 минуты после выхода из колонки эрбиевой фракции.

Источником служила эрбиевая фракция продуктов облучения tantalа протонами с энергией 880 Мэв на синхроциклотроне ОИЯИ. Вторичное разделение производилось через 2 суток после облучения, когда в эрбиевой фракции оставался практически чистый Er^{160} и дочерний изотоп Ho^{160} .

Измерения проводились на спиритуляционном γ -спектрометре с энергетическим разрешением около 10%, измеренным по γ -линии 662 кэв изотопа Cs^{137} . Размеры кристалла типа $\text{NaI}(\text{TI})$ 80 x 80 мм. Расстояние источник - кристалл составляло 5 см.

Dicyanide 3 propene and heptanoyl cyanide react at room temperature to give a cyclic heptacyanide.

True χ^2 - NOCTURNAL PACIFICA H_0 160 (T %) = 25.8 MINTY). OCTYMELINE OF PACIFICA
HORN PIPERACEAE TOLLEY, OTOCHAMMEXIC & NEPEXOAHAN 880 n x NEPEXOAHAN 880 n x NEPEXOAHAN
728 KEP, TO 346K BOSNIKARAT TYPHYCHOTB A UPAPENENHIN FOHA NOU FOTONOKOM BENDY CHOKHOCH-
AYAH PACHTINGHO BOCHANIKARAT FOHNE PACMANA HOMEPHORO H_0 160 m / 3%. HYO KACERTA NEPEXOAH
728 KEP, TO 346K BOSNIKARAT TYPHYCHOTB A UPAPENENHIN FOHA NOU FOTONOKOM BENDY CHOKHOCH-
IN Y - CHOKHOCH. LOCCUNAHEE SAMERAHNE OTHOCHOTCA N X NEPEXOAHAN 880 n x NEPEXOAHAN 880 n x NEPEXOAHAN

$$\left\{ \frac{\left(\zeta Y - \zeta^2 V X^T Y - \zeta^2 V\right)}{I} + \frac{\left(\zeta^2 Y - \zeta^2 V X^T Y - \zeta^2 V\right)}{I} + \frac{\left(\zeta^2 Y - \zeta V X^T Y - \zeta V\right)}{I} \right\} = N$$

The up-¹H-NMR spectrum of heptan-1-ol was recorded at 25°C in CDCl₃. The chemical shifts (δ) were measured relative to TMS as the internal standard. The assignments of the peaks are based on the literature and our previous work.¹

CHROMOGRAPHERS' PAPER, 2 MM. Pb. 11 MM. Ca.) AND OBTAINING HIGHLIGHTS IN THE CHROMOGRAM. 74-17494.

отношение $I_{k'}/I_{l'}$ по теоретическим коэффициентам конверсии для E2 -переходов 880 и 966 кэВ, мы определили a_k для других линий. Так как пики сложные, следует с осторожностью относиться к полученным выводам. Только наиболее сильные переходы в каждой группе могут иметь указанную в таблице мультипольность. Полученные данные о коэффициентах конверсии внутренне непротиворечивы. Переход 187 кэВ – чистый E2, и теоретическое значение $a_k = 185 \cdot 10^{-3}$ близко к указанному в таблице. Переходы в группе 2,8 МэВ имеют в основном мультипольность E1. Это следует из рассмотрения схемы распада $^{161}_{\text{Dy}}$ /1/ и из результатов работы Громова и др. /10/ по определению коэффициента парной конверсии. Теоретическое значение $a_k(E1) = 0,21$ совпадает с полученным в настоящей работе.

Существенным экспериментальным фактом является вывод, что большинство жестких переходов имеет мультипольность E1. Это говорит о большом количестве высокорасположенных уровней с отрицательной четностью в Dy^{160} .

Л и т е р а т у р а

1. Е.П. Григорьев, Б.С. Джелепов, А.В. Золотовин, Б. Крапник, Г. Биттерлих. Изв. АН СССР, сер. физ., 23, 868 (1959).
2. T.Stenstrom, B.Jung. Nucl.Phys., 64, 209 .(1965).
3. Е.П. Григорьев, Г.С. Новиков, В.О. Сергеев. Изв. АН СССР, сер.физ., 26, 1523 (1962).
4. K.S.Toth, J.Inorg. Nucl.Chem., 7, 1 (1958).
5. T.Handley. Phys. Rev., 94, 945 (1954).
6. W.Nervik, G.Seaborg. Phys.Rev., 97, 1092 (1955).
7. Г.М. Городинский, А.Н. Мурин, В.Н. Покровский, Б.К. Преображенский Изв. АН СССР, сер. физ., 21, 1824 (1957).
8. Е.П. Григорьев, Б.С. Джелепов, А.В. Золотовин. Изв. АН СССР, сер.физ., 22, 821 (1958).
9. Е.П. Григорьев, В.Б. Смирнов. Программа и тезисы докладов XY совещания по ядерной спектроскопии и структуре ядра, стр. 61, Минск, 1956. Доклад на этом же совещании.
10. К.Я. Громов, Б.С. Джелепов, Ж.Т. Желев, В.Г. Калинников, А.В. Кудрявцева, Н.А.Лебедев. Программа и тезисы докладов XIV ежегодного совещания по ядерной спектроскопии в Тбилиси, стр.53 , 1964.

Рукопись поступила в издательский отдел
13 июля 1965 г.

Т а б л и ц а

Интенсивности и коэффициенты конверсии γ -переходов в Dy¹⁶⁰

E_γ	I_γ	I_k	a_k эксп. $\times 10^3$	Вывод о мультипольности
200	32	100	210	E2
300	11	3	18	E1, E2
540	45	2,8	4,2	-
750	80	8,0	6,7	E2
880	71	3,6	3,3 ^{x)}	E2
970	100	4,3	2,9 ^{x)}	E2
1150	16	0,12	0,5	E1
1300	43	0,4	0,6	E1
1600	22	0,09	0,3	E1
2100	18	0,03	0,1	E1?
2600	17	0,05	0,2	E1

^{x/} Значение a_k для этих переходов принято наиболее близким к теоретическим значениям для E2 -переходов.

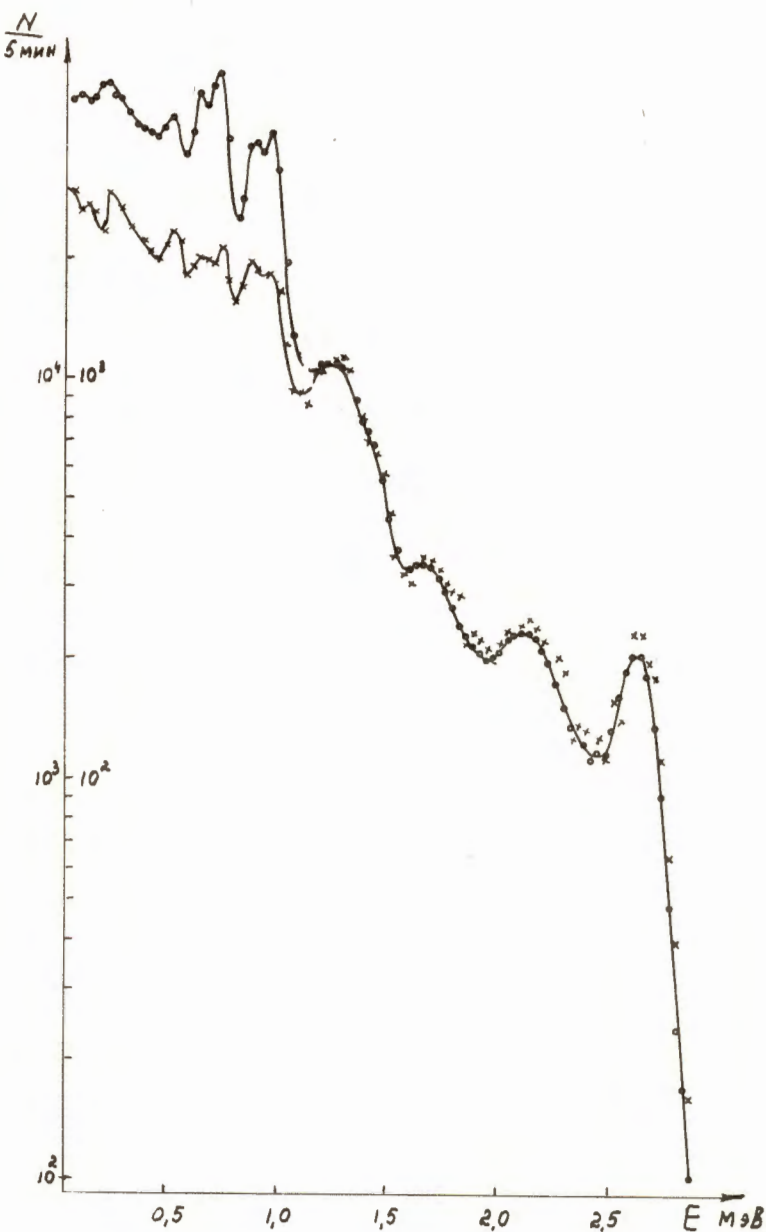
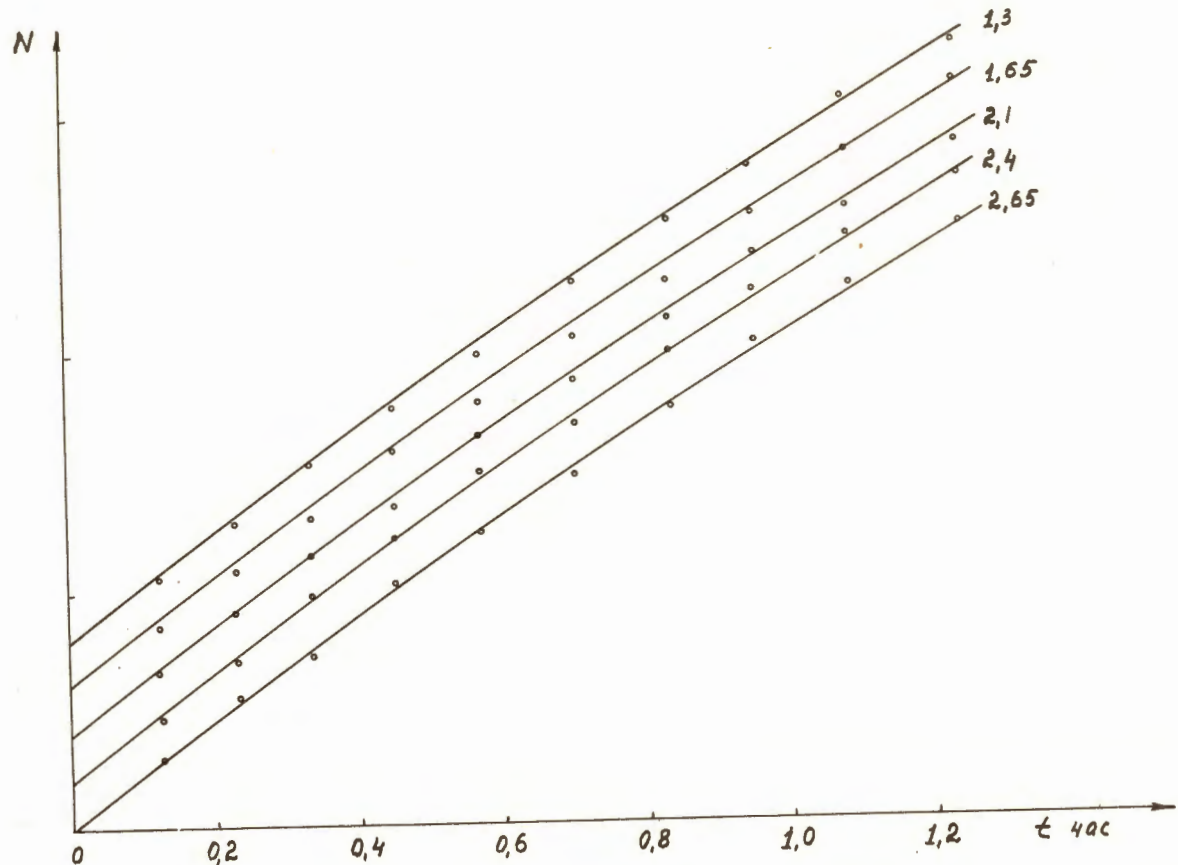
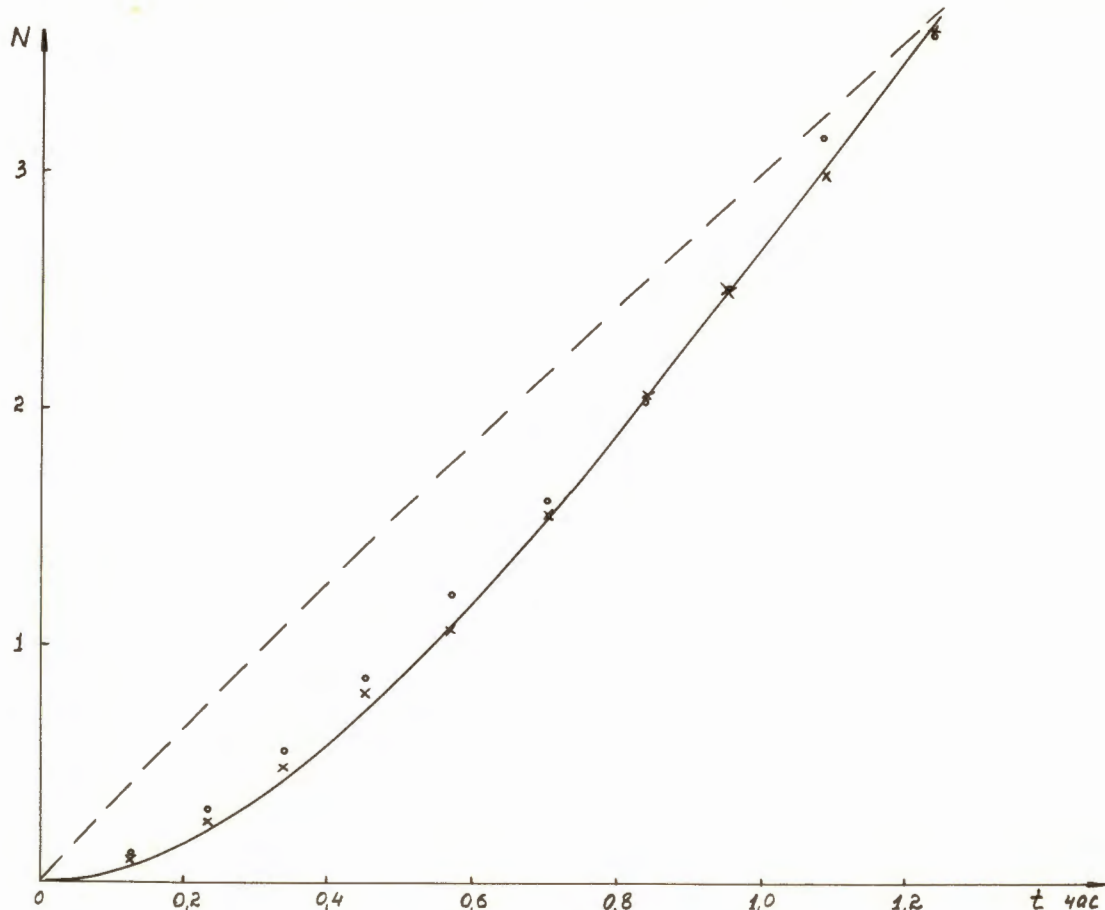


Рис. 1. Гамма-спектр Er^{160} .

Крестики — измерения через 8 минут после выделения чистого эрбия (правая шкала по оси ординат); сплошная кривая, проведенная по точкам, — измерения через 75 минут после выделения Er (левая шкала).



Р и с. 2. Нарастание жесткой части спектра E_1^{180} . Числа указывают энергию в Мэв.
Расчетные кривые нарастания проведены сплошными линиями. Все интенсивности приведены к масштабу расчетных кривых.



Р и с. 3. Нарастание пиков $(880 + 980)$ кэв (точки) и 727 кэв (крестики). Интенсивности приведены к масштабу расчетной кривой для распада основного состояния Ni^{160} (сплошная линия). Расчетная кривая для распада изомерного уровня показана пунктиром.